

УДК 539.3

ДВОВІСНИЙ РОЗТЯГ КУСКОВО-ОДНОРІДНОЇ ІЗОТРОПНОЇ ПЛАСТИНИ З ПРЯМОЛІНІЙНОЮ МЕЖЕЮ ПОДІЛУ МАТЕРІАЛІВ І НЕНАСКРІЗНОЮ ТРИЩИНОЮ В НІЙ З УРАХУВАННЯМ ПЛАСТИЧНИХ ЗОН БІЛЯ ЇЇ ВЕРШИН

Мирон НИКОЛИШИН¹, Віктор ОПАНАСОВИЧ²,
Леся КУРОТЧИН¹, Микола СЛОБОДЯН²

¹Інститут прикладних проблем механіки і математики
ім. Я. С. Підстригача НАН України,
вул. Наукова, 3б 79060 Львів, Україна

²Львівський національний університет імені Івана Франка,
вул. Університетська, 1 79000 Львів, Україна

Розглянуто задачу про двовісний розтяг кусково-однорідної ізотропної пластини з ненаскрізною тріщиною в прямолінійній межі поділу матеріалів. Припускають, що береги тріщини вільні від зовнішнього навантаження, а біля її вершин на продовженні тріщини утворюються пластичні зони, де виконуються умови пластичності Треска у вигляді поверхневого пластичного шару. Позаяк тріщина не наскрізна, то розв'язок задачі розбиваємо на задачу розтягу та згину пластини, використовуючи класичну теорію згину. На підставі комплексних потенціалів плоскої задачі теорії пружності та задачі згину, їхній обмежений розв'язок зведено до задач лінійного спряження. Знайдено напруженій стан пластини на межі поділу матеріалів. Проведено числовий аналіз задачі та визначено довжини пластичних зон і розкриття тріщини на її фронті.

Ключові слова: розтяг, пластина, тріщина, пластичні зони, комплексні потенціали, умова пластичності Треска, розкриття тріщини.

Вступ. У багатьох галузях техніки використовують пластинчасті елементи конструкцій, які досить легкі, проте достатньо надійні. Під час встановлення та експлуатації таких елементів у них виникають тріщиноподібні дефекти. Ці дефекти різко знижують допустиме навантаження і можуть привести до руйнування конструкції, тому важливо вивчати їхній вплив на напружено-деформований стан пластинчастих елементів.

Вперше задачу про напружено-деформований стан кусково-однорідної ізотропної пластини з тріщиною досліджено в [31]. Схожі дослідження для однорідної ізотропної пластини подано в працях [27, 30]. В [29] розглянуто задачу розтягу однорідної пластини з півеліптичною поверхневою тріщиною, на продовженні якої утворюється пластична зона, у тривимірному формулюванні з використанням методу скінчених елементів. Задачу розтягу однорідної пластини з системою паралельних тріщин у пружному та пластичному формулюванні з використанням комплексних потенціалів Колосова-Мусхелішвілі та методу граничних елементів наведено в [26].

В [3] зробили огляд досліджень для задач розтягу тіл з тріщиною, у вершині якої утворюються пластичні зони, та подано критерії руйнування. У [7] досліжено одновісний розтяг пластиини з наскрізною тріщиною у пластичному формуванні. Визначення зон пластичності в околі вершини двох близько розміщених паралельних тріщин за повздовжнього зсуву виконано у праці [8]. Задачу про вплив міжфазних тріщин на напруженодеформований стан кусково-однорідної ізотропної пластиини з прямолінійною межею поділу матеріалів досліжено в [17, 18, 23]. В [1] розв'язано схожу задачу для випадку анізотропних півплощин, у цьому разі розв'язок побудовано в класі функцій необмежених у вершинах тріщини. Вплив наскрізних тріщин, на продовженні яких утворюються пластичні зони, на напруженено-деформований стан циліндричної оболонки досліжено в [9, 11, 13]. Зміщення матеріалу на напружений стан пружно-пластичних оболонок описано в [4, 5].

У [24] розглянуто дві нерівні колінеарні тріщини у пластиині з урахуванням пластичних зон за моделлю Дагдейля. Задачу про взаємодію поверхневих тріщин у пружно-пластичному формуванні досліжено в [28]. У [25] з використанням умови пластичності Мізеса визначено пластичну область на продовженні тріщини у пластиині.

Довжину пластичної зони та розкриття ненаскрізної тріщини при прикладенні до її берегів нормальні зусиль і згинних моментів в однорідній пластиині розглянуто в [16]. Дослідженням напруженодеформованого стану кусково-однорідної пластиини з наскрізною тріщиною та однорідної пластиини з двома рівними тріщинами у пластичному формуванні проведено у працях [14, 15].

Наша мета – дослідити задачу про двовісний розтяг кусково-однорідної ізотропної пластиини з ненаскрізною тріщиною на прямолінійній межі поділу матеріалів. Вважають, що береги тріщини вільні від навантаження, а в процесі деформування біля неї утворилися вузькі пластичні зони по всій товщині пластиини. Аналогічно як у δ_c -моделі замінимо пластичні зони поверхнями розриву пружних переміщень, а реакцію пластичної зони на пружний об'єм – невідомими нормальними та дотичними напруженнями, які задовольняють умову пластичності Треска. З допомогою методів теорії функції комплексної змінної задачу розбиваємо на задачу розтягу та згину, зводимо до задач лінійного спряження, розв'язок яких шукаємо в класі функцій обмежених у вершинах тріщини. Числовий аналіз задачі виконано з використанням квадратурних формул Гаусса [19, 22].

Формування задачі. Розглянемо нескінченну кусково-однорідну ізотропну пластиину завтовшки $2h$ з прямолінійною межею поділу матеріалів. Нехай пластина перебуває під дією однорідного поля зусиль на нескінченості. Вважаємо, що на межі поділу матеріалів перебуває ненаскрізна тріщина заввишки $h + h_1$ і завдовжки $2l$. Береги тріщини вільні від зовнішнього навантаження. Виберемо в серединній площині пластиини декартову систему координат $Oxyz$ з початком в центрі тріщини, вісь Ox спрямуємо по межі поділу матеріалів. Вважатимемо, що під дією зовнішнього навантаження на продовженні тріщини виникають пластичні

зони завдовжки a , крім того, матеріал у перемичці $h_1 \leq z \leq h$, $-l \leq x \leq l$ (рис. 1) також перейшов у пластичний стан. На межі поділу матеріалів поза тріщиною виконуються умови ідеального механічного контакту. В серединній площині пластиині лінію спаю матеріалів позначимо через L' , лінію, де розміщено тріщину, — через L , а пластичні зони через — L'_1 і L''_1 , у цьому разі $L_1 = L'_1 \cup L''_1$, $\tilde{L} = L \cup L_1$, $\tilde{L}' = \tilde{L} \cup L'$ (див. рис. 1). Границне значення відповідних величин при $y \rightarrow \pm 0$ будемо позначати знаками “+” і “-”, а для пружних стaliх матеріалу S_j півплощини приписуватимемо індекс j , який надалі приймає два значення 1 чи 2, а півплощину для якої $y < 0$ ($y > 0$) — через S_1 (S_2). Завдяки наявності пластичної зони в перемичці розв'язок задачі подано у вигляді розв'язків двох задач: плоскої задачі та задачі згину пластиини, з використанням класичної теорії.

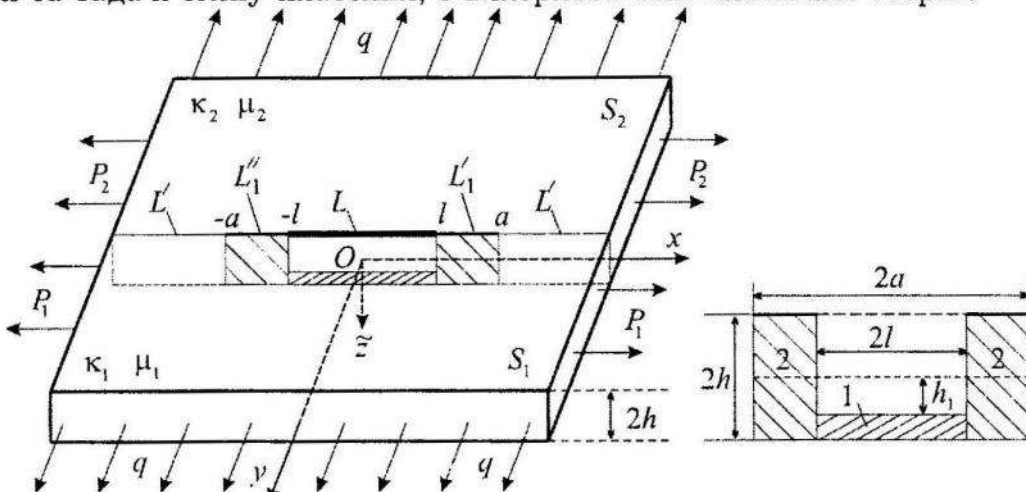


Рис. 1. Схема навантаження пластиини та розміщення тріщини і пластичних зон

Для плоскої задачі згідно з формуллюванням отримаємо такі крайові умови:

$$(\sigma_y - i\tau_{xy})^+ = (\sigma_y - i\tau_{xy})^- , (u + iv)^+ = (u + iv)^- \text{ на } L'; \quad (1)$$

$$\sigma_y^\pm = \sigma_T b_1, \tau_{xy}^\pm = 0 \text{ на } L, \sigma_y^\pm = \sigma_0, \tau_{xy}^\pm = \tau_0 \text{ на } L'_1, \sigma_y^\pm = \sigma_0, \tau_{xy}^\pm = -\tau_0 \text{ на } L''_1; \quad (2)$$

для задачі згину:

$$M_y^+ = M_y^-, H_{xy}^+ = H_{xy}^-, N_y^+ = N_y^-, w^+ = w^-, \partial_y w^+ = \partial_y w^- \text{ на } L'; \quad (3)$$

$$M_y^\pm = \sigma_T b_2, H_{xy}^\pm = 0, N_y^\pm = 0 \text{ на } L, M_y^\pm = M_0, H_{xy}^\pm = H_0, N_y^\pm = 0 \text{ на } L'_1,$$

$$M_y^\pm = M_0, H_{xy}^\pm = -H_0, N_y^\pm = 0 \text{ на } L''_1; \quad (4)$$

де u, v – проекції вектора переміщення точки серединної площини на осі Ox і Oy , відповідно; σ_y, τ_{xy} – компоненти тензора напружень; σ_0, τ_0 – невідоме нормальнє та дотичне напруження у пластичній зоні; w – прогин точки серединної поверхні пластини; M_y, H_{xy}, N_y – згиальний і крутний моменти та перерізувальна сила; M_0, H_0 – невідомі згиальний і крутний моменти у пластичній зоні; $b_1 = (h - h_1)/(2h)$, $b_2 = (h^2 - h_1^2)/2$; $\sigma_T = \min(\sigma_T^{(1)}, \sigma_T^{(2)})$, $\sigma_T^{(j)}$ – границя текучості матеріалу S_j півплощини, де індекс j тут і надалі набуває двох значень 1 і 2, ∂_s – позначення часткової похідної по s .

Побудова розв'язку плоскої задачі. Введемо комплексні потенціали Колосова-Мусхелішвілі $\Phi_j(z)$ і $\Psi_j(z)$ дляожної з півплощин S_j . Тоді згідно з [12] можемо записати

$$\begin{aligned} \sigma_y - i\tau_{xy} &= \Phi_j(z) + \overline{\Phi_j(z)} + z\overline{\Phi'_j(z)} + \overline{\Psi_j(z)}, \\ 2\mu_j \partial_x(u + iv) &= \kappa_j \Phi_j(z) - \overline{\Phi_j(z)} - z\overline{\Phi'_j(z)} - \overline{\Psi_j(z)}, \end{aligned} \quad (5)$$

де $z = x + iy$, $i^2 = -1$, $\kappa_j = \frac{3 - \nu_j}{1 + \nu_j}$; μ_j – модуль зсуву; ν_j – коефіцієнт Пуассона.

Для великих $|z|$ мають місце розвинення [12]

$$\Phi_j(z) = \Gamma_j + o(1/z^2), \quad \Psi_j(z) = \Gamma'_j + o(1/z^2). \quad (6)$$

Тут

$$\Gamma_j = 0,25(P_j + q), \quad \Gamma'_j = 0,5(q - P_j). \quad (7)$$

Аналітично продовжимо функцію $\Phi_j(z)$ з області S_j в область S_{3-j} за формулою [12]

$$\Phi_j(z) = -\overline{\Phi_j(z)} - z\overline{\Phi'_j(z)} - \overline{\Psi_j(z)}. \quad (8)$$

Тоді залежності (5) можемо записати так:

$$\sigma_y - i\tau_{xy} = \Phi_j(z) - \Phi_j(\bar{z}) + (z - \bar{z})\overline{\Phi'_j(z)}, \quad (9)$$

$$2\mu_j \partial_x(u + iv) = \kappa_j \Phi_j(z) + \Phi_j(\bar{z}) - (z - \bar{z})\overline{\Phi'_j(z)}. \quad (10)$$

На підставі (6) і (8) аналітичне продовження функції $\Phi_j(z)$ (8) при великих $|z|$ подамо у вигляді

$$\Phi_j(z) = -\Gamma_j - \Gamma'_j + o(1/z^2). \quad (11)$$

Враховуючи (9), з краївих умов (1)–(2) отримуємо таку задачу лінійного спряження:

$$(\Phi_1(x) + \Phi_2(x))^+ - (\Phi_1(x) + \Phi_2(x))^- = 0, \quad x \in \tilde{L}. \quad (12)$$

Розв'язавши задачу лінійного спряження (12), одержимо

$$\theta(z) = \Phi_1(z) + \Phi_2(z) = (P_1 + P_2 - 2q) / 4. \quad (13)$$

Введемо функцію

$$\Phi(z) = \mu_{3-j}\kappa_j\Phi_j(z) - \mu_j\Phi_{3-j}(z), \quad (14)$$

то, як видно з другої країової умови (1) та залежності (10), вона задовольняє умову

$$\Phi^+(x) - \Phi^-(x) = 0, \quad x \in L'. \quad (15)$$

Звідси, враховуючи (6), (11) і (14), при великих $|x|$, отримаємо

$$\mu_1(1 + \kappa_2)P_2 - \mu_2(1 + \kappa_1)P_1 = [3(\mu_1 - \mu_2) + \mu_2\kappa_1 - \mu_1\kappa_2]q. \quad (16)$$

На підставі (13) і (14) знайдемо вирази для функцій $\Phi_1(z)$ і $\Phi_2(z)$ через введені функції $\theta(z)$ і $\Phi(z)$

$$\Phi_j(z) = \begin{cases} A_j^{-1}(\mu_j\theta(z) + \Phi(z)), & z \in S_j, \\ A_{3-j}^{-1}(\mu_j\kappa_{3-j}\theta(z) - \Phi(z)), & z \in S_{3-j}, \end{cases} \quad (17)$$

де $A_j = \mu_j + \mu_{3-j}\kappa_j$.

Країову умову (2) подамо так: $(\sigma_y - i\tau_{xy})^+ = f(x)$, $x \in \tilde{L}$, з якої на підставі (9) і (17) отримаємо

$$\Phi^+(x) - g\Phi^-(x) = -A\theta(x) + A_1f(x), \quad x \in \tilde{L}, \quad (18)$$

де

$$f(x) = \sigma_T b_1, \quad x \in L, \quad f(x) = \sigma_0 - i\tau_0, \quad x \in L'_1, \quad f(x) = \sigma_0 + i\tau_0, \quad x \in L''_1,$$

$$A = \mu_1\mu_2(1 - \kappa_1\kappa_2)A_2^{-1}, \quad g = -A_1A_2^{-1}.$$

Якщо ввести функцію

$$\Phi_0(z) = \Phi(z) + A\theta(z) / (1 - g), \quad (19)$$

то вона, як випливає з (18), є розв'язком такої країової задачі:

$$\Phi_0^+(x) - g\Phi_0^-(x) = A_1 f(x), \quad x \in \tilde{L}. \quad (20)$$

Розв'язавши задачу лінійного спряження (20), одержимо

$$\Phi_0(z) = A_1 X_0(z) [\sigma_T b_1 g(L, z) + \sigma_0 g(L_1, z) - \tau_0 i g(L'_1, z) + \tau_0 i g(L''_1, z)], \quad (21)$$

$$g(L, z) = \frac{1}{2\pi i} \int_L \frac{dt}{X_0^+(t)(t-z)}, \quad X_0(z) = \frac{(z-a)^{0.5+i\beta}}{(z+a)^{-0.5+i\beta}}, \quad \beta = -\frac{\ln|g|}{2\pi}. \quad (22)$$

Враховуючи (6), (11), (13), (14), (19), для функції $\Phi_0(z)$ правильне розвинення

$$\Phi_0(z) = A_1 q/(1-g) + O(1/z^2). \quad (23)$$

З іншого боку, на підставі (21) при великих $|z|$ отримаємо

$$\Phi_0(z) = A_1 \left(a_1 + (a_2 - 2ia\beta a_1)/z + \dots \right), \quad (24)$$

де

$$\begin{aligned} a_1 &= e^{\beta\pi} [\sigma_T b_1 I_c^0 + \sigma_0 I_c - \tau_0 I_s] / \pi, \quad a_2 = -ie^{\beta\pi} [\sigma_T b_1 I_{st}^0 + \sigma_0 I_{st} + \tau_0 I_{ct}] / \pi, \\ I_\rho &= \int_l^a g_\rho(t) dt, \quad I_c^0 = \int_0^l g_c(t) dt, \quad I_{\rho t} = \int_l^a g_\rho(t) t dt, \quad I_{st}^0 = \int_0^l g_s(t) t dt; \\ g_c(t) &= \frac{\cos b(t)}{\sqrt{a^2 - t^2}}, \quad g_s(t) = \frac{\sin b(t)}{\sqrt{a^2 - t^2}}, \quad b(t) = \beta \ln \left| \frac{a-t}{a+t} \right|. \end{aligned} \quad (25)$$

Тут індекс ρ набуває двох значень c чи s .

Враховуючи (23) і (24), отримаємо

$$a_1 = q/(1-g), \quad a_2 = 2i\beta a_1 a. \quad (26)$$

Розв'язавши систему алгебричних рівнянь (26) стосовно σ_0 і τ_0 , можемо записати

$$\sigma_0 = [-\sigma_T b_1 (I_c^0 I_{ct} + I_s I_{st}^0) + b_4 (I_{ct} - 2a\beta I_s)] / b_5, \quad (27)$$

$$\tau_0 = [\sigma_T b_1 (I_c^0 I_{st} + I_c I_{st}^0) - b_4 (I_{st} + 2a\beta I_c)] / b_5, \quad (28)$$

де

$$b_4 = q\pi e^{-\beta\pi} / (1-g), \quad b_5 = I_c I_{ct} + I_s I_{st}. \quad (29)$$

Компоненти тензора напружень вздовж осі Ox знайдемо за формулами

$$\begin{aligned}\sigma_y^\pm - i\tau_{xy}^\pm &= A_1^{-1} [\Phi_0^+(x) - g\Phi_0^-(x)], \\ \sigma_x^+ &= A_1^{-1} \operatorname{Re} [3\Phi_0^+(x) + g\Phi_0^-(x)] + P_1 - q(3+g)/(1-g), \\ \sigma_x^+ + \sigma_x^- - 2\sigma_y^\pm &= P_1 + P_2 - 2q, -\infty < x < \infty.\end{aligned}\quad (30)$$

Якщо ввести позначення

$$I_s^\pm(x) = \int_l^a \frac{g_s(t)}{(t \pm x)} dt, \quad I_c^\pm(x) = \int_l^a \frac{g_c(t)}{(t \pm x)} dt, \quad I_\rho(x) = \int_{-l}^l \frac{g_\rho(t)}{(t-x)} dt, \quad (31)$$

то на підставі залежностей (30) отримуємо такі вирази для компонент тензора напружень на дійсній осі:

$$\begin{aligned}\sigma_x^+(x) &= b_6(\sigma_0 - q) + P_1 + g_3(x)[(\sigma_T b_1 - \sigma_0)g_5(x) + \tau_0\{g_6(x) + g_7^+(x)\}], x \in (l, a); \\ \sigma_x^+(x) &= b_6(\sigma_0 - q) + P_1 + g_3(x)[(\sigma_T b_1 - \sigma_0)g_5(x) - \tau_0\{g_6(x) - g_7^-(x)\}], x \in (-a, -l); \\ \sigma_x^+(x) &= b_6(\sigma_T b_1 - q) + P_1 + g_3(x)[(\sigma_0 - \sigma_T b_1)g_8^+(x) - \tau_0 g_9^-(x)], x \in (-l, l); \\ \sigma_y^\pm(x) &= (1-g)g_4(x)[- \sigma_T b_1 g_6(x) - \sigma_0 g_9^-(x) - \tau_0 g_8^-(x)], \\ \tau_{xy}^\pm(x) &= -(1-g)g_4(x)[- \sigma_T b_1 g_5(x) - \sigma_0 g_8^+(x) + \tau_0 g_9^+(x)], \\ \sigma_x^+(x) &= P_1 - qb_6 + (3+g)g_4(x)[- \sigma_T b_1 g_6(x) - \sigma_0 g_9^-(x) - \tau_0 g_8^-(x)], x \in (a, \infty);\end{aligned}$$

де

$$\begin{aligned}g_3(x) &= 2\sqrt{a^2 - x^2}/\pi, \quad g_4(x) = e^{\beta\pi}\sqrt{x^2 - a^2}/2\pi, \quad g_\rho^\pm(x) = I_\rho^-(x) \pm I_\rho^+(x), \\ g_5(x) &= \sin b(x)I_c(x) - \cos b(x)I_s(x), \quad g_6(x) = \sin b(x)I_s(x) + \cos b(x)I_c(x), \\ g_7^\pm(x) &= \pm 2\{\sin b(x)I_s^\pm(x) \mp \cos b(x)I_c^\pm(x)\}, \quad g_8^\pm(x) = \sin b(x)g_c^\mp(x) - \cos b(x)g_s^\pm(x), \\ g_9^\pm(x) &= \cos b(x)g_c^\pm(x) + \sin b(x)g_s^\mp(x), \quad b_6 = (3+g)/(1-g).\end{aligned}$$

Задача згину пластини. Введемо комплексні потенціали $\Phi_{3j}(z)$ і $\Psi_{3j}(z)$ для кожної з півплощин S_j та аналітичне продовження функції $\Phi_{3j}(z)$ з області S_j в область S_{3-j} за формулою

$$\Phi_{3j}(z) = -\bar{\Phi}_{3j}(z) - z\bar{\Phi}'_{3j}(z) - \bar{\Psi}_{3j}(z),$$

тоді згідно з [20] можемо записати

$$\partial_x(\partial_x w + i\partial_y w) = \Phi_{3j}(z) - \Phi_{3j}(\bar{z}) + (z - \bar{z})\overline{\Phi'_{3j}(z)}, \quad z \in S_j, \quad (32)$$

$$2\tilde{\mu}_j \tilde{f} = \tilde{\kappa}_j \Phi_{3j}(z) + \Phi_{3j}(\bar{z}) - (z - \bar{z})\overline{\Phi'_{3j}(z)}, \quad z \in S_j, \quad (33)$$

де

$$\tilde{f} = M_y + i(H_{xy} + \int_{-a}^x N_y dx),$$

$$\tilde{\mu}_j = -0,75(1 + \nu_j) / E_j h^3, \quad \tilde{\kappa}_j = (3 + \nu_j) / (1 - \nu_j), \quad E_j \text{ — модуль Юнга.}$$

Для комплексного потенціалу $\Phi_{3j}(z)$ правильне розвинення

$$\Phi_{3j}(z) = O(1/z^2), \quad |z| \rightarrow \infty. \quad (34)$$

Введемо функції

$$\theta_3(z) = \tilde{\Phi}_{31}(z) + \tilde{\Phi}_{32}(z), \quad z \in S_j, \quad (35)$$

$$\Phi_3(z) = \tilde{\mu}_{3-j} \tilde{\kappa}_j \Phi_{3j}(z) - \tilde{\mu}_j \Phi_{33-j}(z), \quad z \in S_j. \quad (36)$$

З частини краївих умов (3) і (4) можемо записати

$$\tilde{f}^+ = \tilde{f}^-, \quad x \in \tilde{L}. \quad (37)$$

Якщо врахувати (33) і (36), то з краївої умови (37) одержимо, що функція $\Phi_3(z)$ задовільняє задачу лінійного спряження

$$\Phi_3^+(x) - \Phi_3^-(x) = 0, \quad x \in \tilde{L},$$

розв'язок якої набув вигляду

$$\Phi_3(z) = 0. \quad (38)$$

Розв'язавши систему алгебричних рівнянь (35) і (36) стосовно $\Phi_{3j}(z)$ та врахувавши (38), отримаємо

$$\Phi_{3j}(z) = \begin{cases} \tilde{A}_j^{-1} \tilde{\mu}_j \theta_3(z), & z \in S_j, \\ \tilde{A}_{3-j}^{-1} \tilde{\mu}_j \tilde{\kappa}_{3-j} \theta_3(z), & z \in S_{3-j}. \end{cases} \quad (39)$$

Тут $\tilde{A}_j = \tilde{\mu}_j + \tilde{\mu}_{3-j} \tilde{\kappa}_j$.

Якщо врахувати країові умови (3) і (4), а також залежності (32), (33) і (39), то одержимо, що функція $\theta_3(z)$ задовільняє такі країові умови:

$$\begin{aligned} \theta_3^+(x) - \theta_3^-(x) &= 0, \quad x \in L', \\ \theta_3^+(x) - \tilde{g}\theta_3^-(x) &= \tilde{A}^{-1} \tilde{f}_1(x), \quad x \in \tilde{L}, \end{aligned} \quad (40)$$

де

$$\tilde{A} = \tilde{\kappa}_1 / (2\tilde{A}_1), \quad \tilde{g} = -\tilde{\kappa}_2 \tilde{A}_1 / (\tilde{A}_2 \tilde{\kappa}_1),$$

$$\tilde{f}_1(x) = \sigma_T b_2, \quad x \in L, \quad \tilde{f}_1(x) = M_0 + iH_0, \quad x \in L'_1, \quad \tilde{f}_1(x) = M_0 - iH_0, \quad x \in L''_1.$$

Розв'язок задачі лінійного спряження (40) можна зобразити так:

$$\theta_3(z) = \tilde{A}^{-1} \tilde{X}_0(z) [\sigma_T b_2 \tilde{g}(L, z) + M_0 \tilde{g}(L_1, z) + iH_0 \tilde{g}(L'_1, z) - iH_0 \tilde{g}(L''_1, z)], \quad (41)$$

де

$$\tilde{X}_0(z) = \frac{(z-a)^{0,5+i\tilde{\beta}}}{(z+a)^{-0,5+i\tilde{\beta}}}, \quad \tilde{g}(L, z) = \frac{1}{2\pi i} \int_L \frac{dt}{\tilde{X}_0^+(t)(t-z)}, \quad \tilde{\beta} = -\frac{\ln |\tilde{g}|}{2\pi}. \quad (42)$$

Знайдемо розвинення функції $\theta_3(z)$ при $|z| \rightarrow \infty$ двояко, враховуючи формулі (35) і (34)

$$\theta_3(z) = O(1/z^2), \quad (43)$$

та залежність (41)

$$\theta_3(z) = \tilde{A}^{-1} \left(\tilde{a}_1 + (\tilde{a}_2 - 2ia\tilde{\beta}\tilde{a}_1)/z + \dots \right). \quad (44)$$

Тут

$$\begin{aligned} \tilde{a}_1 &= e^{\tilde{\beta}\pi} [\sigma_T b_2 \tilde{I}_c^0 + M_0 \tilde{I}_c + H_0 \tilde{I}_s] / \pi, \\ \tilde{a}_2 &= -ie^{\tilde{\beta}\pi} [\sigma_T b_2 \tilde{I}_{st}^0 + M_0 \tilde{I}_{st} - H_0 \tilde{I}_{ct}] / \pi, \end{aligned} \quad (45)$$

вирази для \tilde{I}_m^0 , \tilde{I}_m отримають із виразів для I_m^0 і I_m заміною $\beta \rightarrow \tilde{\beta}$.

На підставі (43) і (44) запишемо

$$\tilde{a}_1 = 0, \quad \tilde{a}_2 = 0. \quad (46)$$

Підставляючи (45) у (46) та розв'язуючи отриману систему лінійних алгебричних рівнянь стосовно M_0 і H_0 , одержимо

$$M_0 = \tilde{b}_5 (\tilde{I}_c^0 \tilde{I}_{ct} + \tilde{I}_s^0 \tilde{I}_{st}), \quad H_0 = \tilde{b}_5 (\tilde{I}_c^0 \tilde{I}_{st} - \tilde{I}_s^0 \tilde{I}_{ct}), \quad (47)$$

де $\tilde{b}_5 = -\sigma_T b_2 / (\tilde{I}_c^0 \tilde{I}_{ct} + \tilde{I}_s^0 \tilde{I}_{st})$.

Згинальні та крутні моменти на дійсній осі визначимо за формулами

$$\begin{aligned} M_y^\pm + iH_{xy}^\pm &= \tilde{A} [\theta_3^+(x) - \tilde{g}\theta_3^-(x)], \quad d_j = (\tilde{\kappa}_j - 2) / \tilde{\kappa}_j, \\ M_x^+ &= \tilde{A} \operatorname{Re} [d_1 \theta_3^+(x) + \tilde{g}\theta_3^-(x)], \quad M_x^- = -\tilde{A} \operatorname{Re} [\theta_3^+(x) + \tilde{g}d_2 \theta_3^-(x)]. \end{aligned} \quad (48)$$

Якщо врахувати вирази для функцій $\theta_3(z)$ (41), то на підставі (48) отримаємо

$$M_x^+(x) = b_3 M_0 + \tilde{g}_{10}(x) [(\sigma_T b_2 - M_0) \tilde{g}_5(x) - H_0 (\tilde{g}_6(x) - \tilde{g}_7^+(x))], \quad x \in (l, a);$$

$$M_x^+(x) = b_3 M_0 + \tilde{g}_{10}(x) [(\sigma_T b_2 - M_0) \tilde{g}_5(x) + H_0 (\tilde{g}_6(x) - \tilde{g}_7^-(x))], \quad x \in (-a, -l);$$

$$M_x^+(x) = b_3 \sigma_T b_2 + \tilde{g}_{10}(x) [(M_0 - \sigma_T b_2) \tilde{g}_8^+(x) + H_0 \tilde{g}_9^+(x)], \quad x \in (-l, l);$$

$$M_y^\pm(x) = (1 - \tilde{g})\tilde{g}_4(x)[-\sigma_T b_2 \tilde{g}_6(x) - M_0 \tilde{g}_9^-(x) + H_0 \tilde{g}_8^-(x)], \quad (49)$$

$$H_{xy}^\pm(x) = (1 - \tilde{g})\tilde{g}_4(x)[-\sigma_T b_2 \tilde{g}_5(x) - M_0 \tilde{g}_8^+(x) - H_0 \tilde{g}_9^+(x)],$$

$$M_x^+(x) = b_3 \tilde{g}_4(x)[-\sigma_T b_2 \tilde{g}_6(x) - M_0 \tilde{g}_9^-(x) + H_0 \tilde{g}_8^-(x)],$$

$$M_x^-(x) = -\{1 + \tilde{g}d_2\}\tilde{g}_4(x)[-\sigma_T b_2 \tilde{g}_6(x) - M_0 \tilde{g}_9^-(x) + H_0 \tilde{g}_8^-(x)], x \in (a, \infty);$$

де $\tilde{g}_8(x) = \sqrt{|a^2 - x^2|}/(2\pi)$, $b_3 = (d_1 + \tilde{g})/(1 - \tilde{g})$, $\tilde{g}_{10}(x) = 2\tilde{g}_8(x)(\tilde{\kappa}_1 - 1)/\tilde{\kappa}_1$,

вирази для $\tilde{I}_m^k(x)$, $\tilde{g}_m^k(x)$ отримуємо зі співвідношень для $I_m^k(x)$, $g_m^k(x)$ заміною $\beta \rightarrow \tilde{\beta}$.

Зауважимо таке: якщо прийняти $h_1/h = 1$, то отримаємо результати про розтяг кусково-однорідної ізотропної пластини з наскрізною тріщиною, які подано в [15], а в випадку однорідної пластини отримаємо відомі результати з монографії [21].

Числовий аналіз задачі. Для знаходження довжини a пластичної зони на продовженні тріщини використаємо умову пластичності Треска [2] у вигляді умови пластичності поверхневого шару [6, 10]

$$\max \left\{ |\sigma_1^p|, |\sigma_2^p|, |\sigma_1^p - \sigma_2^p| \right\} = \sigma_T, \quad (50)$$

де

$$\sigma_{1,2}^p = \left(\sigma_x^p + \sigma_y^p \pm \sqrt{(\sigma_x^p - \sigma_y^p)^2 + 4(\tau_{xy}^p)^2} \right) / 2.$$

Напруження на поверхні пластини σ_j^p є комбінацією напружень плоскої задачі та задачі згину, які знаходимо за відомими формулами через відповідні моменти (49).

Розкриття тріщини δ у вершині $x = l$ на нижній основі пластини знайдемо за формулою

$$\begin{aligned} \delta(x) = & A_1(g - 1)/(4\pi g \mu_1 \mu_2) \int_a^l \sqrt{a^2 - x^2} [(\sigma_0 - \sigma_T b_1)g_6(x) + \tau_0 g_5(x) - \\ & - 2\tau_0 \{ \cos b(x) I_s^+(x) + \sin b(x) I_c^+(x) \}] dx + h \tilde{A} (\tilde{g} - 1)/(2\pi \tilde{g}) \int_a^l \sqrt{a^2 - x^2} [(M_0 - \\ & - \sigma_T b_2) \tilde{g}_6(x) - H_0 \tilde{g}_5(x) + 2H_0 \{ \cos \tilde{b}(x) \tilde{I}_s^+(x) + \sin \tilde{b}(x) \tilde{I}_c^+(x) \}] dx. \end{aligned} \quad (57)$$

Числовий аналіз задачі проведено з використанням квадратурних формул Гаусса для нитесилу $\sigma^{(1)} = 278$ МПа, $E_1 = 1,38 \cdot 10^5$ МПа та

технічно чистого заліза $\sigma_r^{(2)} = 130$ МПа, $E_2 = 2,08 \cdot 10^5$ МПа, $\nu_1 = \nu_2 = 0,3$.

На рис. 2–9 сувільні лінії зображені для верхньої основи пластиини ($z = -h$), а штрихові – для нижньої основи пластиини ($z = h$), у цьому разі $P_1 / \sigma_T = 0,4$.

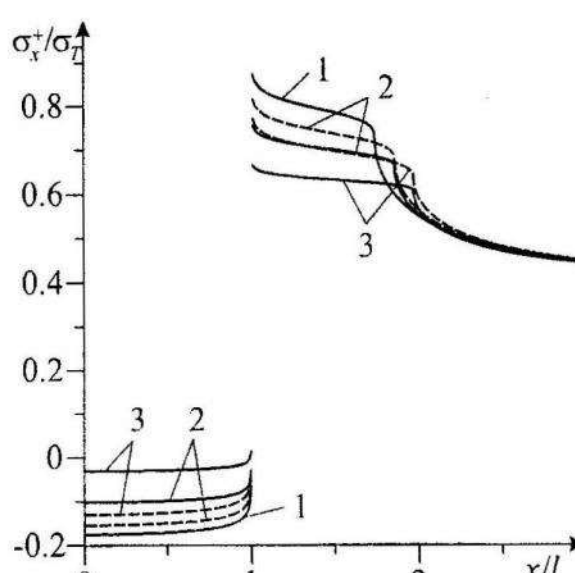


Рис. 2

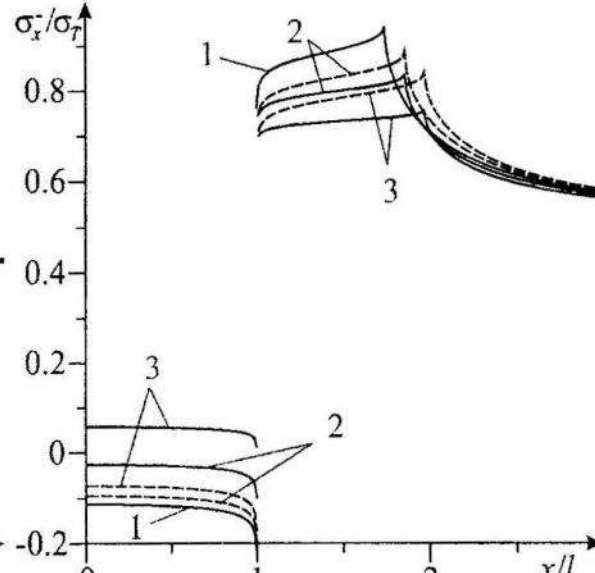


Рис. 3

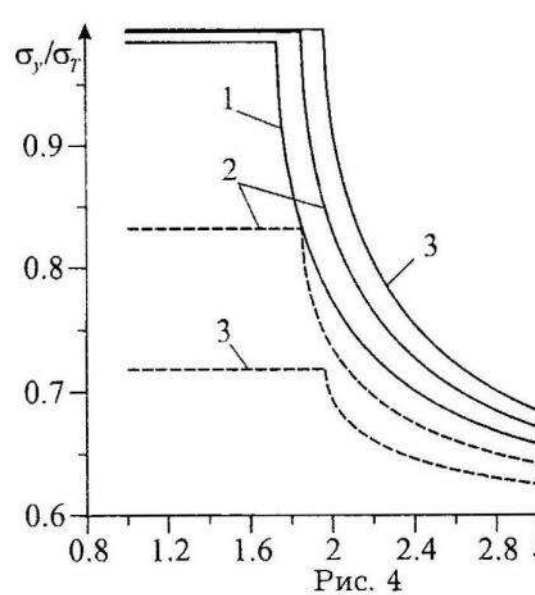


Рис. 4

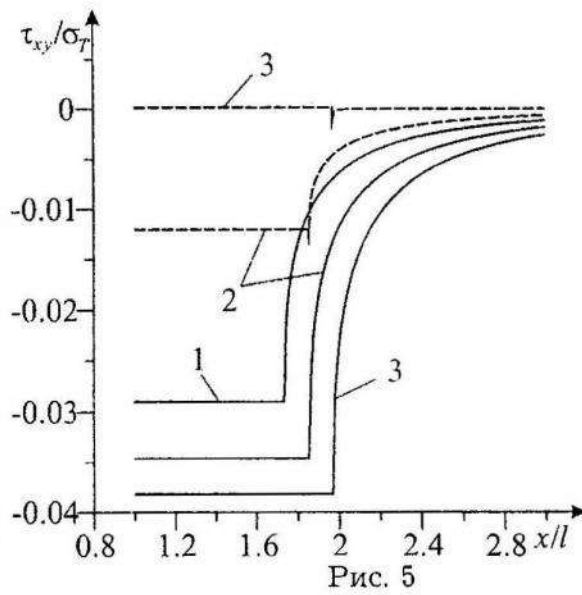


Рис. 5

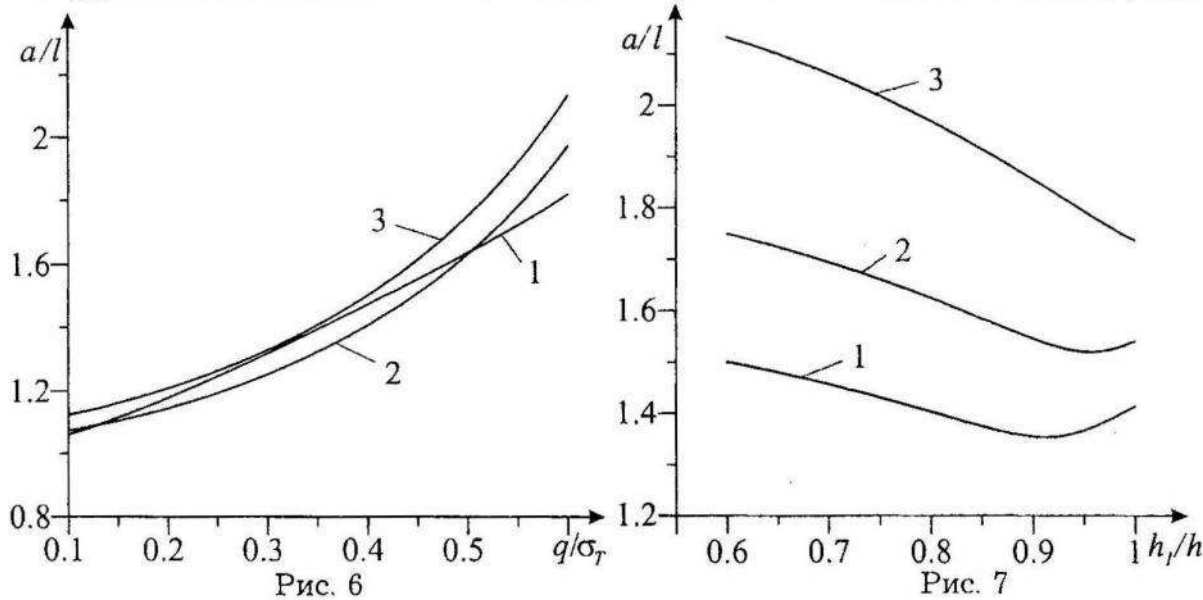
На рис. 2–5 зображене зміну компонент тензора напружень вздовж дійсної осі від відносної координати x / l при $q / \sigma_T = 0,6$. Числовий аналіз виявив, що напруженний стан симетричний стосовно початку координат, тому наведено результати для $x > 0$. Криві 1 побудовані при $h_1 / h = 1$

(випадок наскрізної тріщини), криві 2 – при $h_1 / h = 0,9$, криві 3 – при $h_1 / h = 0,8$; у цьому разі відносна довжина пластичної зони була такою: при $h_1 / h = 1$ – $a / l = 1,7363$, при $h_1 / h = 0,9$ – $a / l = 1,8552$, при $h_1 / h = 0,8$ – $a / l = 1,9685$. Як виявив числовий аналіз, у разі використання умови пластичності (50) розподілене навантаження P_1 і P_2 майже не впливає на числове значення довжини пластичної зони при фіксованому q / σ_T .

На рис. 2, 3 зображене розподіл напружень σ_x^+ / σ_T на дійсній осі у пластині. На підставі цих рисунків можна зробити висновок, що у зонах пластичності на продовженні тріщини найбільші напруження будуть у випадку наскрізної тріщини, а найменші – при $h_1 / h = 0,8$; а от у зоні пластичності, під тріщиною, навпаки – найменші напруження у випадку наскрізної тріщини, а найбільші – коли $h_1 / h = 0,8$. Для великих $|x|$ σ_x^+ / σ_T і σ_x^- / σ_T прямають до P_1 / σ_T і P_2 / σ_T , відповідно.

На рис. 4 показано графічну залежність розподілу напружень σ_y / σ_T на дійсній осі у пластині. Напруження σ_y на нижній основі пластини менші, ніж на верхній основі при $h_1 / h < 1$; при великих $|x|$ σ_y / σ_T прямають до q / σ_T .

На рис. 5 зображене розподіл дотичних напружень τ_{xy} / σ_T на дійсній осі у пластині. З цього рисунка видно, що в зонах пластичності дотичні напруження по абсолютній величині на верхній основі пластини більші, ніж



на нижній основі, крім того, вони по модулю зростають на верхній основі та зменшуються на нижній основі, коли h_1 зменшується; зі зростанням $|x|$ вони прямають до нуля.

На рис. 6 і 8 крива 1 побудована при $h_1 / h = 1$ (випадок наскрізної тріщини), крива 2 – при $h_1 / h = 0,8$, крива 3 – при $h_1 / h = 0,6$.

На рис. 7 і 9 крива 1 відповідає $q / \sigma_T = 0,4$, крива 2 – при $q / \sigma_T = 0,5$ і крива 3 – $q / \sigma_T = 0,6$.

На рис. 6 зображене графічну залежність відносної довжини пластичної зони a / l від безрозмірного розподіленого навантаження q / σ_T , а на рис. 7 – та сама залежність тільки від відносної глибини ненаскрізної тріщини h_1 / h . На підставі рис. 6 можна зробити висновок, що незалежно від глибини ненаскрізної тріщини зростання розподіленого навантаження q приводить до зростання довжини пластичної зони. Зростання глибини ненаскрізної тріщини за сталого q приводить спочатку до спадання довжини пластичної зони, а потім до її зростання.

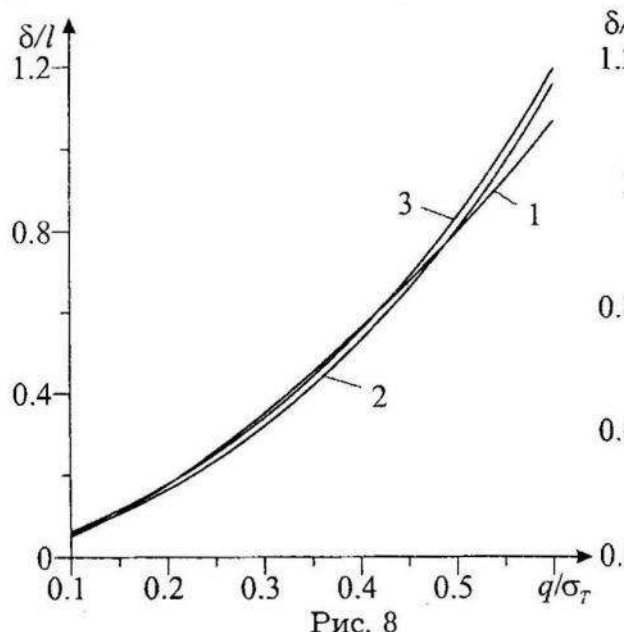


Рис. 8

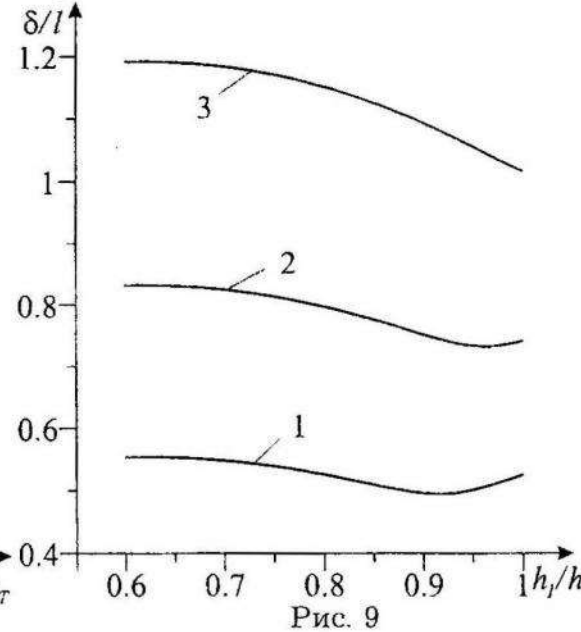


Рис. 9

На рис. 8 показано графічну залежність відносного розкриття δ / l у вершині тріщини на нижній основі пластини від безрозмірного розподіленого навантаження q / σ_T , на рис. 9 – та сама залежність від відносної глибини ненаскрізної тріщини h_1 / h . Як видно з рис. 8, зі збільшенням q / σ_T величина розкриття δ / l збільшується, а при заданому навантаженні q глибина ненаскрізної тріщини не значно впливає на розкриття тріщини.

Список використаної літератури

1. Бакиров В.Ф. Модель Леонова-Панасюка-Дагдейля для трещины на границе соединения материалов / В.Ф. Бакиров, Р.В. Гольдштейн // Прикладная математика и механика. – 2004. – Т. 69, в. 1. – С. 170–179.
2. Божидарник В.В. Елементи теорії пластичності та міцності / В.В. Божидарник, Г.Т. Сулим – Львів: Світ. – 1999. – Т. 1. – 531 с.
3. Витвицький П.М. Пластические деформации в окрестности трещин и критерии разрушения. (Обзор) / П.М. Витвицький, В.В. Панасюк, С.Я. Ярема // Пробл. прочности. – 1973. – № 2. – С. 3–18.
4. Довбня К.М. Вплив змінення матеріалу на напруженний стан пружно-пластичної оболонки з внутрішньою тріщиною / К.М. Довбня, І.В. Дмитрієва // Мат. методи і фіз.-мех. поля. – 2011. – 54, № 2. – С. 123–128.
5. Довбня К.М. Напруженний стан пружно-пластичної ізотропної оболонки з наскрізною тріщиною з урахуванням змінення матеріалу / К.М. Довбня, В.В. Яртемик, І.В. Гур'єва // Мат. методи і фіз.-мех. поля. – 2010. – 53, № 4. – С. 127–131.
6. Кир'ян В.І. Механіка руйнування зварних з'єднань металоконструкцій / В.І. Кир'ян, В.А. Осадчук, М.М. Николишин – Львів: СПОЛОМ. – 2007.
7. Костюшко І.А. Пружнопластична пластина з тріщиною нормального відриву / І.А. Костюшко, В.А. Куземко // Мат. методи та фіз. мех. поля. – 2001. – 44, № 2. – С. 123–126.
8. Кривень В.А. Зони пластичності в околі вершин двох близьких паралельних тріщин за поздовжнього зсуву / В.А. Кривень // Мат. методи та фіз. мех. поля. – 2001. – 44, № 2. – С. 127–134.
9. Кушнір Р.М. Взаимодействие систем произвольно ориентированных трещин в упругопластической цилиндрической оболочке / Р.М. Кушнір, М.М. Николишин, Н.І. Ростун, Ю.П. Фещук // Теор. и прикл. механика. – 2005. – Вып. 41. – С. 134–140.
10. Кушнір Р.М. Пружний та пружно-пластичний граничний стан оболонок з дефектами / Р.М. Кушнір, М.М. Николишин, В.А. Осадчук – Львів: СПОЛОМ. – 2003.
11. Кушнір Р.М. Пружно-пластична сферична оболонка з системою довільно орієнтованих тріщин / Р.М. Кушнір, М.М. Николишин, М.Й. Ростун // Мат. методи і фіз.-мех. поля. – 2006. – 49, № 1. – С. 155–163.
12. Мусхелишвили Н.И. Некоторые основные задачи математической теории пружности / Н.И. Мусхелишвили – М.: Наука. – 1966.

13. Николишин М. Гранична рівновага трансверсально-ізотропної пружно-пластичної сферичної оболонки з двома колінеарними тріщинами / М. Николишин, Є. Федюк, Ю. Фещук // Машинознавство. – 2005. – № 7. – С. 17–21.
14. Николишин М.М. Двовісний розтяг однорідної ізотропної пластини з двома рівними співвісними тріщинами з урахуванням пластичних зон біля їх вершин / М.М. Николишин, В.В. Опанасович, Л.Р. Куротчин, М.С. Слободян // Мат. методи та фіз. мех. поля. – 2009. – Т. 52, № 1. – С. 115–121.
15. Николишин М.М. Двовісний розтяг кусково-однорідної ізотропної пластини з тріщиною на прямолінійній межі поділу матеріалів з урахуванням пластичних зон біля їх вершин / М.М. Николишин, В.В. Опанасович, Л.Р. Куротчин // Прикл. проблеми мех. і мат. – 2006. – Вип. 4 – С. 101–108.
16. Николишин М.М. Раскрытие несквозных трещин в пластине / М.М. Николишин // Мат. методи та фіз. мех. поля. – 1987. – № 26. – С. 29–31.
17. Острик В.І. Контакт з тертям берегів міжфазної тріщини за розтягу та зсуву / В.І. Острик // Фізико-хімічна механіка матеріалів. – 2003. – Т. 39, № 2. – С. 58–65.
18. Острик В.І. Тріщина на межі розподілу півплощин з різних матеріалів / В.І. Острик, А.Ф. Улітко // Мат. методи та фіз.-мех. поля. – 2000. – Т. 43, № 2. – С. 119–126.
19. Панасюк В.В. Распределение напряжений около трещин в пластинах и оболочках / В.В. Панасюк, М.П. Саврук, А.П. Дацьшин // К.: Наук. думка. – 1976.
20. Прусов И.А. Метод сопряжения в теории плит / И.А. Прусов // Минск: Изд-во Белорус. ун-та. – 1975.
21. Саврук М.П. Численный анализ в плоских задачах теории трещин / М.П. Саврук, П.Н. Осив, И.В. Прокопчук – К.: Наук. думка. – 1989.
22. Сулим Г.Т. Основи математичної теорії термопружності рівноваги деформівних твердих тіл з тонкими включеннями / Г.Т. Сулим – Львів: Дослідно-видавничий центр НТШ. – 2007.
23. Харун I.B. Міжфазні тріщини з зонами контакту в полі зосереджених сил і моментів / I.B. Харун, В.В. Лобода // Мат. методи та фіз.-мех. поля. – 2002. – Т. 45, №2. – С. 103–113.
24. Bhargava R.R. The Dugdale Solution for two unequal straight cracks weakening in an infinite / R.R. Bhargava, Hasan Shehzad // Indian Academy of Sciences. – 2010. – Vol. 35, Part. 1. – P. 19–29.
25. Castro et alii J.T.P. Characterization of crack tip stress fields / Castro et alii J.T.P. // Forni di Sopra (UD). – 2011. – P. 58–65.

26. Dong Y.F. Computational modeling of elastic and plastic multiple cracks by the fundamental solutions / Y.F. Dong, M. Denda //Finite elements in analysis and design. – 1996. – 23, – P. 115–132.
27. James R. Rice. The elastic-plastic mechanics of crack extension. / R. Rice James // International Journal of Fracture Mechanics. – 1968. – 4 – P. 41–49.
28. Jong-Min Kim. Crack interaction effects of in-plane surface cracks using elastic and elastic-plastic finite element analyses / Kim Jong-Min, Huhon Nam-Su // Nuclear engineering and technology. – 2010. – Vol. 42, No. 6. – P. 680–689.
29. Nikishkovi G.P. Three-dimensional elastic-plastic J-integral calculations for semielliptical surface cracks in a tensile plate / G.P. Nikishkovi, S.N. Atluris // Engineering fracture mechanics. – 1988. – Vol. 29, No. 1. – P. 81–87.
30. Swedlow J. L. Elasto-plastic cracked plates in plane strain / J.L. Swedlow // Int. Journ. of Fracture Mech. – 1969. – 5 – P. 33–44.
31. Williams M.L. Stress singularities resulting from various boundary conditions in angular corners or plates in extension / M.L. Williams //Trans. ASME. J.Appl. Mech. – 1952. – 19, № 4. – P. 526–535.

ДВУХОСНОЕ РАСТЯЖЕНИЕ КУСОЧНО-ОДНОРОДНОЙ ИЗОТРОПНОЙ ПЛАСТИНЫ С ПРЯМОЛИНЕЙНОЙ ГРАНИЦЕЙ РАЗДЕЛА МАТЕРИАЛОВ И НЕСКВОЗНОЙ ТРЕЩИНОЙ В НЕЙ С УЧЕТОМ ПЛАСТИЧЕСКИХ ЗОН У ЕЕ ВЕРШИН

Мирон НИКОЛИШИН¹, Виктор ОПАНАСОВИЧ²,
Леся КУРОТЧИН¹, Николай СЛОБОДЯН²

¹ Институт прикладных проблем механики и математики
 им. Я. С. Пидстрягача НАН Украины,
 ул. Научная, 3б 79060 Львов, Украина

² Львовский национальный университет имени Ивана Франко,
 ул. Университетская, 1 79000 Львов, Украина

Рассмотрена задача о двухосном растяжении кусочно-однородной изотропной пластины с прямолинейной границей раздела материалов и с несквозной трещиной. Предполагают, что берега трещины свободны от внешней нагрузки, а у ее вершин на продолжении трещины образуются пластические зоны, где выполняются условия пластичности Треска в виде поверхностного пластического слоя. Поскольку трещина несквозная, то решение задачи разбиваем на задачу растяжения и изгиба пластины,

используя классическую теорию изгиба. Найдено напряженное состояние пластины на границе раздела материалов. Проведено численный анализ задачи и определены длины пластических зон и раскрытие трещины на ее фронте.

Ключевые слова: растяжение, пластина, трещина, пластические зоны, комплексные потенциалы, условие пластичности Треска, раскрытие трещины.

BIAXIAL TENSION OF PIECEWISE-HOMOGENEOUS ISOTROPIC PLATE WITH A STRAIGHT BOUNDARY BETWEEN MATERIAL AND NON-THROUGH CRACK IN IT, TAKING INTO ACCOUNT THE PLASTIC ZONE AT ITS EDGES

Miron NIKOLISHIN¹, Victor OPANASOVYCH²,
Lesya KUROTCHYN¹, Mykola SLOBODYAN²

¹*Pidstryhach Institute for Applied Problems of Mechanics and Mathematics
Ukrainian National Academy of Sciences,
Naukova Str., 3b 79060 Lviv, Ukraine*

²*Ivan Franko National University of Lviv,
Universitetska Str., 1 79000 Lviv, Ukraine*

The problem of the biaxial tension piecewise-homogeneous isotropic plate with a straight boundary between material and non-through crack. It is believed that the edges of the crack are free from external loading, and at its vertices on the continuation of the crack plastic zones are formed, where the conditions of Tresca plasticity in the form of the surface of the plastic layer. Because crack is not through, then divide the solution to the problem of stretching and bending of the plate, using the classical theory of bending. We found the state of stress at the interface of the plate material. A numerical analysis of the problem and determined the length of the plastic zone and crack opening at its front.

Key words: tension, plate, crack, plastic zone, the complex potentials, the condition of Tresca plasticity.

Стаття надійшла до редколегії 20.09.2011
Прийнята до друку 31.05.2012